

Starkniederschlagshöhen und -spenden gemäß KOSTRA-DWD-2010R

Auswertungszeitraum von 1951 - 2010, Januar - Dezember

Rasterfeld: 53026

Zeile: 53

Spalte: 26

Seite: 1/2

| Dauerstufe D | Wiederkehrzeit T | | | | | | | | | | | | | | | | | | |
|--------------|------------------|------|------------|------|------------|------|------------|------|------------|------|------------|------|------------|------|------------|------|------------|------|------------|
| | 1 a | | 2 a | | 3 a | | 5 a | | 10 a | | 20 a | | 30 a | | 50 a | | 100 a | | |
| min | Std | mm | l / (s ha) | mm | l / (s ha) | mm | l / (s ha) | mm | l / (s ha) | mm | l / (s ha) | mm | l / (s ha) | mm | l / (s ha) | mm | l / (s ha) | mm | l / (s ha) |
| 5 | | 5,4 | 180,0 | 6,9 | 230,0 | 7,8 | 260,0 | 9,0 | 300,0 | 10,5 | 350,0 | 12,0 | 400,0 | 12,9 | 430,0 | 14,1 | 470,0 | 15,6 | 520,0 |
| 10 | | 8,2 | 136,7 | 10,3 | 171,7 | 11,6 | 193,3 | 13,2 | 220,0 | 15,3 | 255,0 | 17,4 | 290,0 | 18,6 | 310,0 | 20,2 | 336,7 | 22,3 | 371,7 |
| 15 | | 10,0 | 111,1 | 12,6 | 140,0 | 14,1 | 156,7 | 15,9 | 176,7 | 18,5 | 205,6 | 21,1 | 234,4 | 22,6 | 251,1 | 24,4 | 271,1 | 27,0 | 300,0 |
| 20 | | 11,2 | 93,3 | 14,1 | 117,5 | 15,8 | 131,7 | 18,0 | 150,0 | 20,9 | 174,2 | 23,8 | 198,3 | 25,5 | 212,5 | 27,7 | 230,8 | 30,6 | 255,0 |
| 30 | | 12,8 | 71,1 | 16,3 | 90,6 | 18,3 | 101,7 | 20,9 | 116,1 | 24,4 | 135,6 | 28,0 | 155,6 | 30,0 | 166,7 | 32,6 | 181,1 | 36,1 | 200,6 |
| 45 | | 14,1 | 52,2 | 18,3 | 67,8 | 20,8 | 77,0 | 23,9 | 88,5 | 28,1 | 104,1 | 32,4 | 120,0 | 34,8 | 128,9 | 37,9 | 140,4 | 42,2 | 156,3 |
| 60 | | 14,8 | 41,1 | 19,6 | 54,4 | 22,5 | 62,5 | 26,0 | 72,2 | 30,8 | 85,6 | 35,7 | 99,2 | 38,5 | 106,9 | 42,1 | 116,9 | 46,9 | 130,3 |
| 90 | | 16,5 | 30,6 | 21,5 | 39,8 | 24,4 | 45,2 | 28,1 | 52,0 | 33,1 | 61,3 | 38,2 | 70,7 | 41,1 | 76,1 | 44,8 | 83,0 | 49,8 | 92,2 |
| 120 | 2 | 17,8 | 24,7 | 22,9 | 31,8 | 25,9 | 36,0 | 29,7 | 41,3 | 34,9 | 48,5 | 40,0 | 55,6 | 43,0 | 59,7 | 46,8 | 65,0 | 52,0 | 72,2 |
| 180 | 3 | 19,8 | 18,3 | 25,1 | 23,2 | 28,2 | 26,1 | 32,2 | 29,8 | 37,5 | 34,7 | 42,9 | 39,7 | 46,0 | 42,6 | 50,0 | 46,3 | 55,3 | 51,2 |
| 240 | 4 | 21,3 | 14,8 | 26,8 | 18,6 | 30,0 | 20,8 | 34,1 | 23,7 | 39,6 | 27,5 | 45,1 | 31,3 | 48,3 | 33,5 | 52,3 | 36,3 | 57,8 | 40,1 |
| 360 | 6 | 23,7 | 11,0 | 29,4 | 13,6 | 32,8 | 15,2 | 37,0 | 17,1 | 42,7 | 19,8 | 48,4 | 22,4 | 51,7 | 23,9 | 55,9 | 25,9 | 61,6 | 28,5 |
| 540 | 9 | 26,4 | 8,1 | 32,3 | 10,0 | 35,8 | 11,0 | 40,2 | 12,4 | 46,1 | 14,2 | 52,0 | 16,0 | 55,5 | 17,1 | 59,8 | 18,5 | 65,8 | 20,3 |
| 720 | 12 | 28,5 | 6,6 | 34,6 | 8,0 | 38,1 | 8,8 | 42,6 | 9,9 | 48,7 | 11,3 | 54,8 | 12,7 | 58,3 | 13,5 | 62,8 | 14,5 | 68,9 | 15,9 |
| 1080 | 18 | 31,7 | 4,9 | 38,0 | 5,9 | 41,7 | 6,4 | 46,4 | 7,2 | 52,7 | 8,1 | 59,0 | 9,1 | 62,7 | 9,7 | 67,4 | 10,4 | 73,7 | 11,4 |
| 1440 | 24 | 34,2 | 4,0 | 40,7 | 4,7 | 44,5 | 5,2 | 49,3 | 5,7 | 55,8 | 6,5 | 62,2 | 7,2 | 66,0 | 7,6 | 70,8 | 8,2 | 77,3 | 8,9 |
| 2880 | 48 | 37,3 | 2,2 | 44,9 | 2,6 | 49,4 | 2,9 | 55,0 | 3,2 | 62,5 | 3,6 | 70,1 | 4,1 | 74,6 | 4,3 | 80,2 | 4,6 | 87,8 | 5,1 |
| 4320 | 72 | 39,3 | 1,5 | 47,5 | 1,8 | 52,3 | 2,0 | 58,4 | 2,3 | 66,6 | 2,6 | 74,9 | 2,9 | 79,7 | 3,1 | 85,8 | 3,3 | 94,0 | 3,6 |

Angaben in mm: Bemessungsniederschlagswerte h(n)

Angaben in l / (s ha): Regenspende R(n) mit $R(n) = h(n) \times 1,666667 / D[\text{min}]$

Toleranzbereiche:

+/- 10 % für $1 \text{ a} \leq T \leq 5 \text{ a}$

+/- 15 % für $5 \text{ a} < T \leq 50 \text{ a}$

+/- 20 % für $50 \text{ a} < T \leq 100 \text{ a}$

Datenbasis: KOSTRA-DWD-2010R des Deutschen Wetterdienstes. Die Regenspende wurde auf Basis des Bemessungsniederschlags zur jeweiligen Andauer berechnet.

Für die Richtigkeit und Aktualität der Angaben wird keine Gewähr übernommen. Erstellt 07/2022.

Starkniederschlagshöhen und -spenden gemäß KOSTRA-DWD-2010R

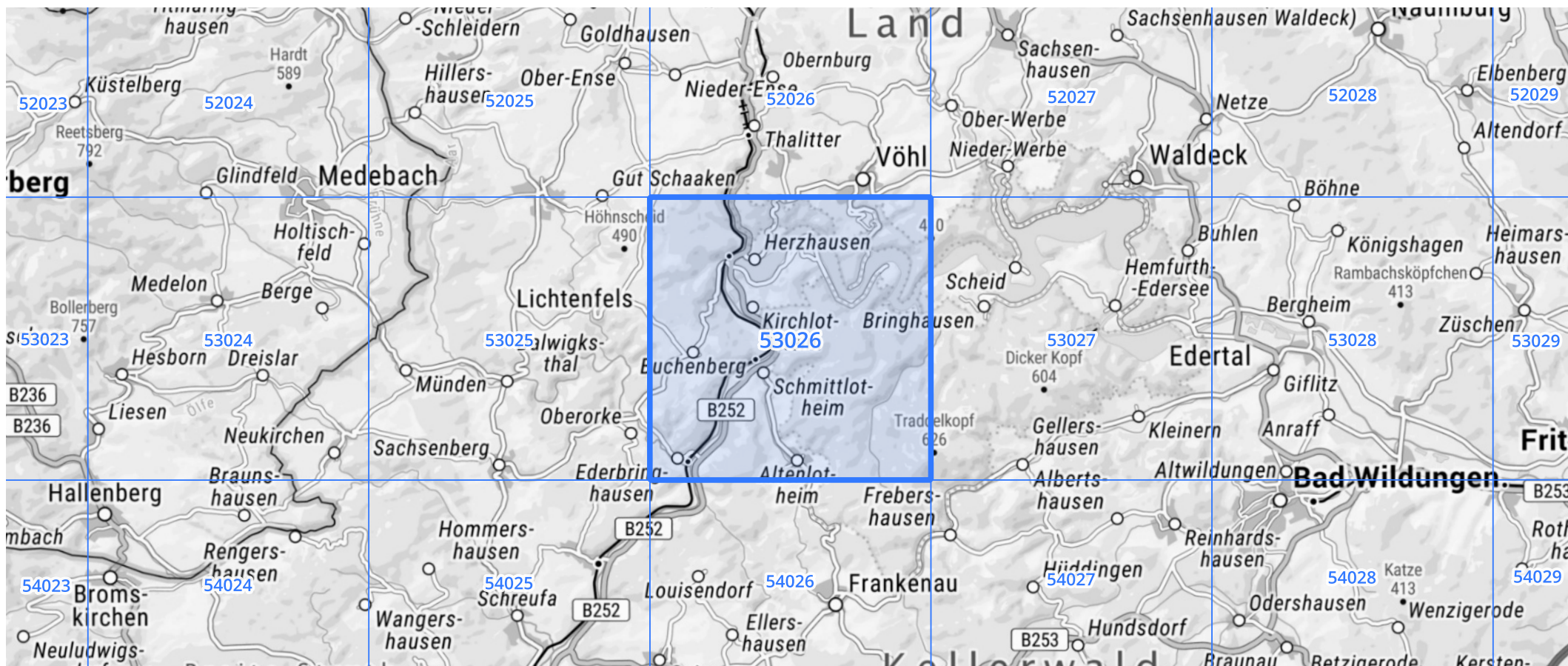
Auswertungszeitraum von 1951 - 2010, Januar - Dezember

Rasterfeld: 53026

Zeile: 53

Spalte: 26

Seite: 2/2



Quelle Rasterdaten: KOSTRA-DWD-2010R des Deutschen Wetterdienstes.

Kartendarstellung: © Bundesamt für Kartographie und Geodäsie (2022), Datenquellen: https://sgx.geodatenzentrum.de/web_public/gdz/datenquellen/Datenquellen_TopPlusOpen.html

Für die Richtigkeit und Aktualität der Angaben wird keine Gewähr übernommen. Erstellt 07/2022.